



Physik der Kondensierten Materie 1

**Rudolf Gross
WS 2020/2021
Teil 11**

Vorlesungsstunde: 08.12.2020

- Dynamik des Kristallgitters:**

Beschreibung der Bewegung von einzelnen Atomen in Kristallgitter → komplex, da jedes Atom mit jedem über „Federnetzwerk“ wechselwirkt

- (i) **adiabatische Näherung** (Elektronen können Bewegungen der Kerne instantan folgen)
- (ii) **harmonische Näherung** (parabelförmiges Paar-WW-Potenzial, Rückstellkraft \propto Auslenkung)

- Auslenkung $u_{m\beta}$ von Atom β in Gitterzelle m resultiert in Kraft $F_{n\alpha}$ auf Atom α in Gitterzelle n**

$$F_{n\alpha i} = -C_{n\alpha i}^{m\beta j} u_{m\beta j}$$

Kopplungskonstanten

$$C_{n\alpha i}^{m\beta j} = \frac{\partial^2 \phi_{el}}{\partial r_{n\alpha i} \partial r_{m\beta j}} \quad i, j = x, y, z$$

$$C_{n\alpha i}^{m\beta j} = C_{\alpha i}^{(m-n)\beta j}$$

hängen wegen **Translationsinvarianz von FK** nur von $m - n$ ab !!

- Bewegungsgleichung** $M_{\alpha} \frac{\partial^2 u_{n\alpha i}}{\partial t^2} + \sum_{m, \beta, j} C_{n\alpha i}^{m\beta j} u_{m\beta j} = 0$

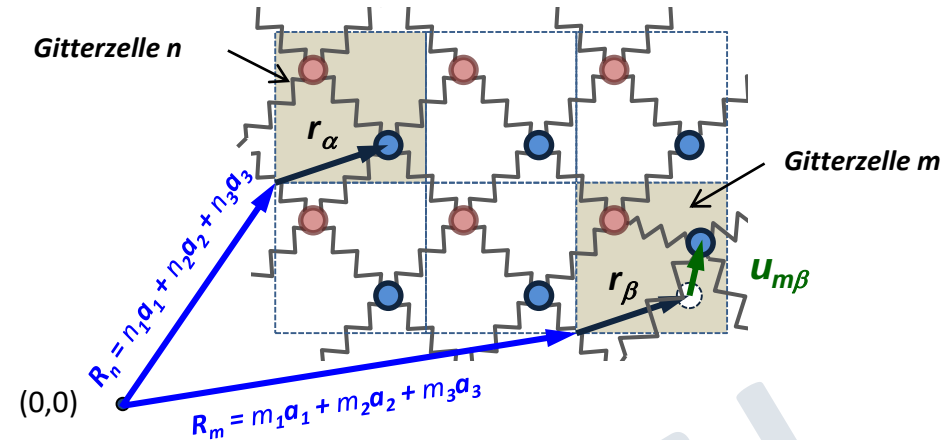
Trägheitskraft

Rückstellkräfte durch WW mit allen anderen Atomen

Lösungsansatz: $u_{n\alpha i} = \frac{1}{\sqrt{M_{\alpha}}} A_{\alpha i}(\mathbf{q}) e^{i(\mathbf{q} \cdot \mathbf{R}_n - \omega t)}$

Reduktion auf homogenes Gleichungssystem der Ordnung $3r'$

$$-\omega^2 A_{\alpha i}(\mathbf{q}) + \sum_{\beta, j} D_{\alpha i}^{\beta j}(\mathbf{q}) A_{\beta j}(\mathbf{q}) = 0$$



$3r'N$ gekoppelte DGLn

N : Zahl der Gitterzellen

r' : Zahl der Basisatome

- wir erhalten $r = 3r'$ Lösungen $\omega_r(\mathbf{q})$ für jeden Wellenvektor \mathbf{q}
- $\omega_r(\mathbf{q})$ nennen wir **Dispersionsrelation**
- die $r = 3r'$ Lösungen bezeichnen wir als **Zweige der Dispersionsrelation**

- longitudinale Schwingungen:** einfachster Fall: 1D-System, einatomige Basis $\rightarrow 1 \cdot r' = 1, \alpha = \beta = 1, m - n = p$

$$F_{nai} = -C_{nai}^{m\beta j} u_{m\beta j} \quad \rightarrow \quad F_n = \sum_p C_p (u_{n+p} - u_n)$$

$$M \frac{\partial^2 u_n}{\partial t^2} - \sum_p C_p (u_{n+p} - u_n) = 0$$

Ansatz: $u_n = A e^{i(qpa - \omega t)}$ $R_p = pa$

Lösung: $\omega^2 = \frac{2}{M} \sum_{p=1}^{\infty} C_p [1 - \cos(qpa)]$ **Dispersionsrelation**

nur NN-WW:
 $m - n = p = 1$

$$\omega^2 = \frac{2C_1}{M} [1 - \cos(qa)] = \frac{4C_1}{M} \sin^2\left(\frac{qa}{2}\right)$$

Gruppengeschwindigkeit: $v_q = \frac{\partial \omega(q)}{\partial q} = \sqrt{\frac{C_1 a^2}{M}} \cos \frac{qa}{2}$

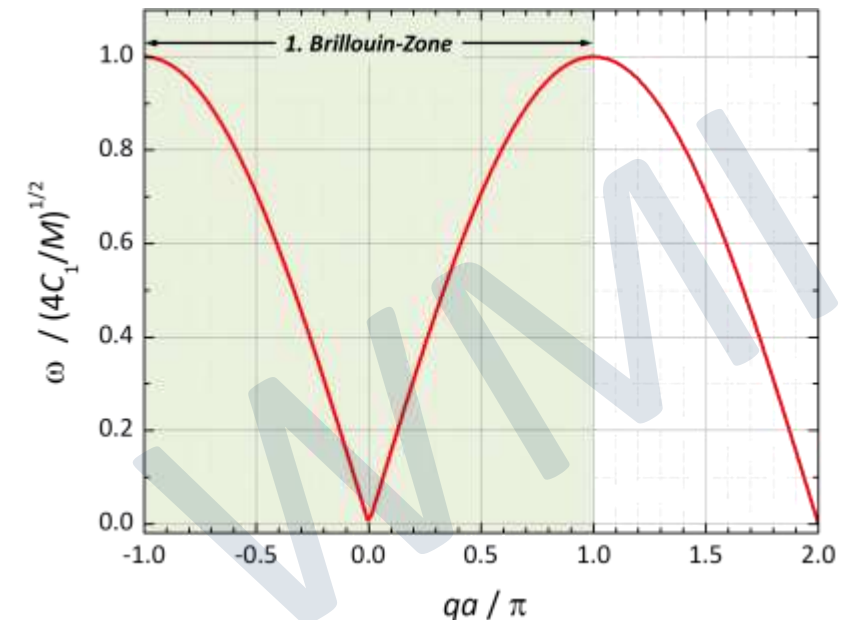
Grenzfälle: $q \ll 1/a: \omega = \sqrt{\frac{C_1 a^2}{M}} q = v_s q$ **Schallgeschwindigkeit v_s**

$q = \pi/a: \omega = \sqrt{\frac{4C_1}{M}}, v_q = 0$ (stehende Welle)

- 1. Brillouin-Zone:** $\omega(\mathbf{q}) = \omega(\mathbf{q} + \mathbf{G})$ $\omega(\mathbf{q}) = \omega(-\mathbf{q})$
es ist ausreichend, **nur den Bereich der 1. BZ** zu betrachten: $-\pi/a \leq q \leq +\pi/a$

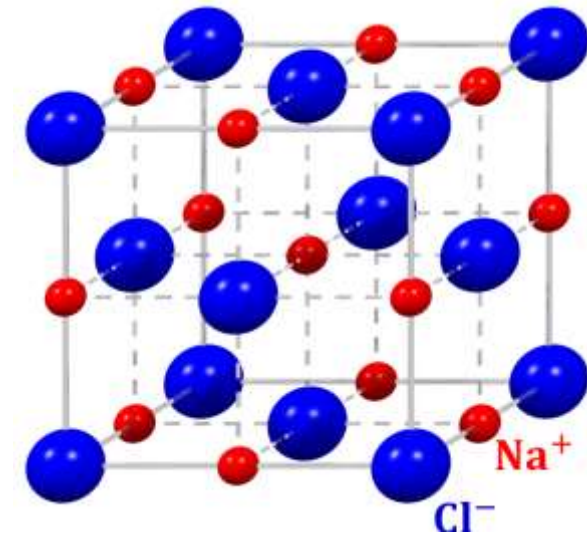
- transversale Schwingungen:**

äquivalentes Ergebnis zu longitudinalen Wellen: $\omega^2 = \frac{4C_1}{M} \sin^2\left(\frac{qa}{2}\right)$ mit anderem C_1

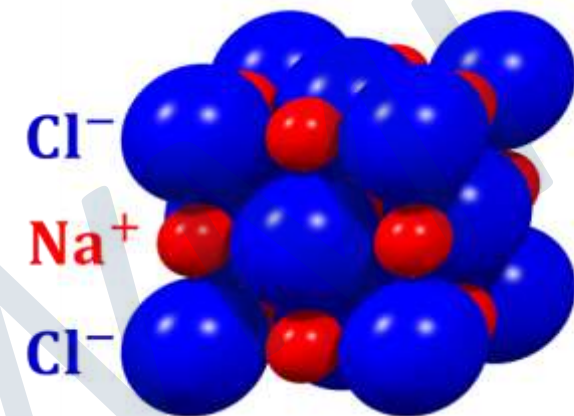


5.2.3 Kristallgitter mit zweiatomiger Basis

- Kristallgitter mit zwei Atomen mit Masse M_1 und M_2 in Einheitszelle
 - ➔ Atome in Einheitszelle können in Phase oder gegenphasig schwingen: neue Moden

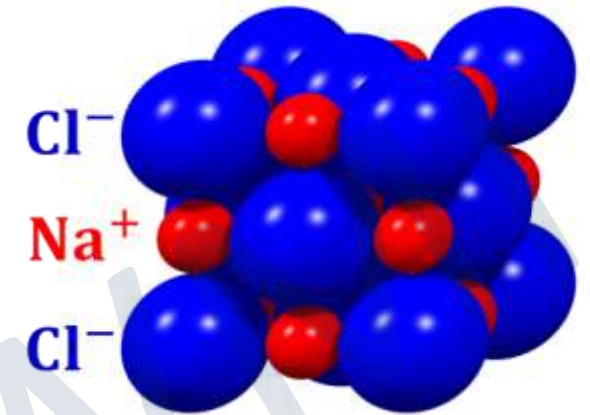
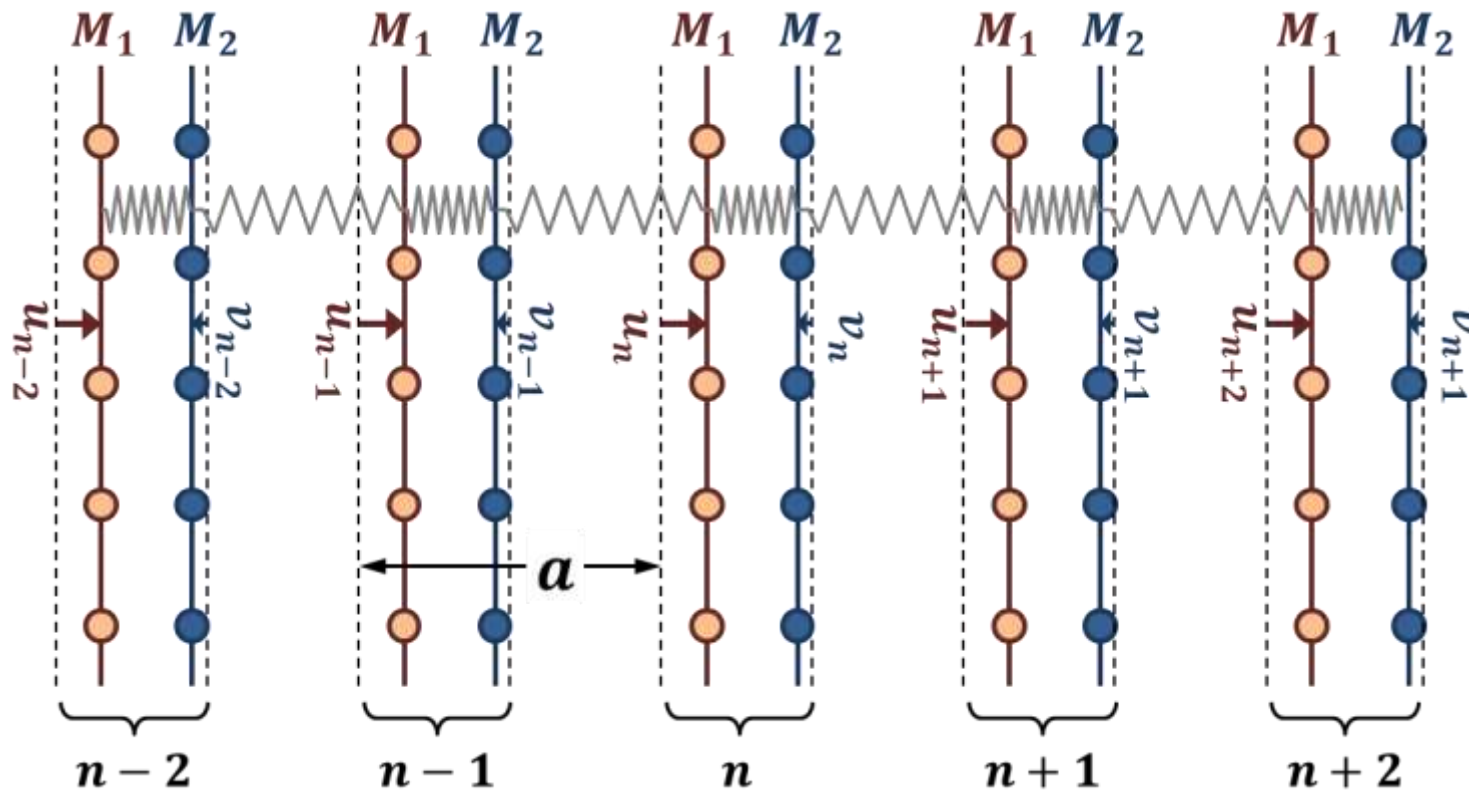


- wir betrachten longitudinale Welle und verwenden eindimensionales Modell
 - ➔ trifft z.B. auf NaCl für Schwingung in [111]-Richtung zu



5.2.3 Kristallgitter mit zweiatomiger Basis

- Netzebenenabstand: a
- Auslenkung der beiden Gitterebenen n sei u_n und v_n für die beiden Atomsorten
- wir betrachten nur WW mit den benachbarten Netzebenen: $m - n = p = 1$
- die Kopplungskonstanten zwischen benachbarten Ebenen werden als gleich angenommen
- wir benutzen für Kopplungskonstante die Bezeichnung f („Federkonstante“)



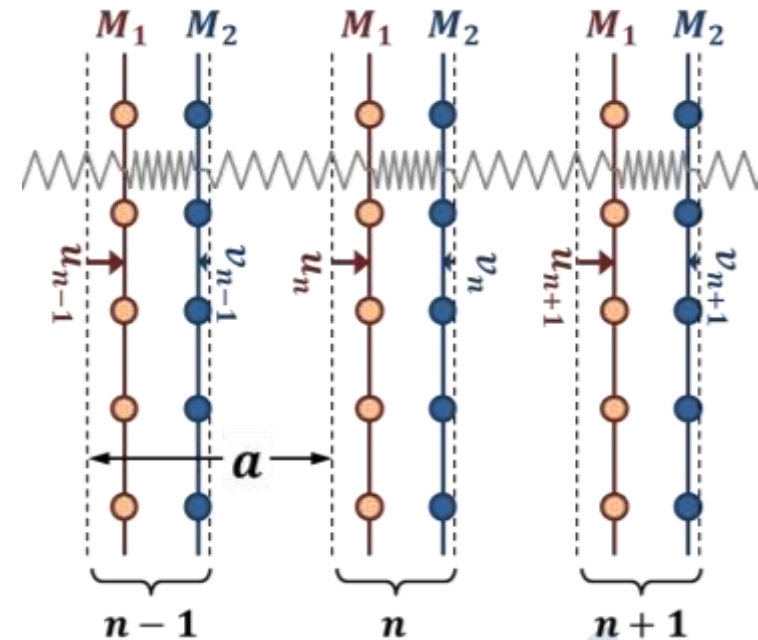
5.2.3 Kristallgitter mit zweiatomiger Basis

- Bewegungsgleichungen (nur NN-Wechselwirkung)

$$M_1 \frac{\partial^2 u_n}{\partial t^2} = f (v_n - u_n) + f (v_{n-1} - u_n)$$

$$M_2 \frac{\partial^2 v_n}{\partial t^2} = f (u_n - v_n) + f (u_{n+1} - v_n)$$

- die Differenzterme der Auslenkungen geben die relative gegenseitige Auslenkung benachbarter Ebenen an
- sind u_n und v_n gleich, so wird die Feder zwischen benachbarten Ebenen nicht gedehnt oder gestaucht → Kraftterm verschwindet



- Zusammenfassung der Terme:

$$M_1 \frac{\partial^2 u_n}{\partial t^2} + f (2u_n - v_n - v_{n-1}) = 0$$

$$M_2 \frac{\partial^2 v_n}{\partial t^2} + f (2v_n - u_n - u_{n+1}) = 0$$

- Lösungsansatz:

$$u_n(q) = \frac{1}{\sqrt{M_1}} A_1(q) e^{i(qna - \omega t)}$$

$$v_n(q) = \frac{1}{\sqrt{M_2}} A_2(q) e^{i(qna - \omega t)}$$

Wellen, die nur an den Gitterpunkten $R_n = na$ definiert sind

5.2.3 Kristallgitter mit zweiatomiger Basis

- Einsetzen des Lösungsansatzes in DGLs ergibt (ohne Rechnung)

$$\left(\frac{2f}{M_1} - \omega^2\right) A_1 - f \frac{1}{\sqrt{M_1 M_2}} (1 + e^{-iqa}) A_2 = 0$$

$$-f \frac{1}{\sqrt{M_1 M_2}} (1 + e^{+iqa}) A_1 + \left(\frac{2f}{M_2} - \omega^2\right) A_2 = 0$$

$$-\omega^2 \begin{pmatrix} A_1 \\ A_2 \end{pmatrix} + \underbrace{\begin{pmatrix} \frac{2f}{M_1} & -f \frac{1}{\sqrt{M_1 M_2}} (1 + e^{-iqa}) \\ -f \frac{1}{\sqrt{M_1 M_2}} (1 + e^{+iqa}) & \frac{2f}{M_2} \end{pmatrix}}_{\text{dynamische Matrix } D_{\alpha i}^{\beta j}(\mathbf{q})} \begin{pmatrix} A_1 \\ A_2 \end{pmatrix} = 0$$

- homogenes, lineares Gleichungssystem besitzt Lösungen, wenn

$$\det \left\{ D_{\alpha i}^{\beta j}(\mathbf{q}) - \omega^2 \mathbf{1} \right\} = 0$$

$$M_1 \frac{\partial^2 u_n}{\partial t^2} + f (2u_n - v_n - v_{n-1})$$

$$M_2 \frac{\partial^2 v_n}{\partial t^2} + f (2v_n - u_n - u_{n+1})$$

$$u_n(q) = \frac{1}{\sqrt{M_1}} A_1(q) e^{i(qna - \omega t)}$$

$$v_n(q) = \frac{1}{\sqrt{M_2}} A_2(q) e^{i(qna - \omega t)}$$

$$-\omega^2 A_{\alpha i}(\mathbf{q}) + \sum_{\beta, j} D_{\alpha i}^{\beta j}(\mathbf{q}) A_{\beta j}(\mathbf{q}) = 0$$

zweiatomige Basis ($r' = 2$)

(1D-Fall), nur NN-WW)

$i, j = 1, m - n = 1, \alpha, \beta = 1, 2$

wir erwarten

$r = 1 \cdot r' = 2$ Lösungszweige

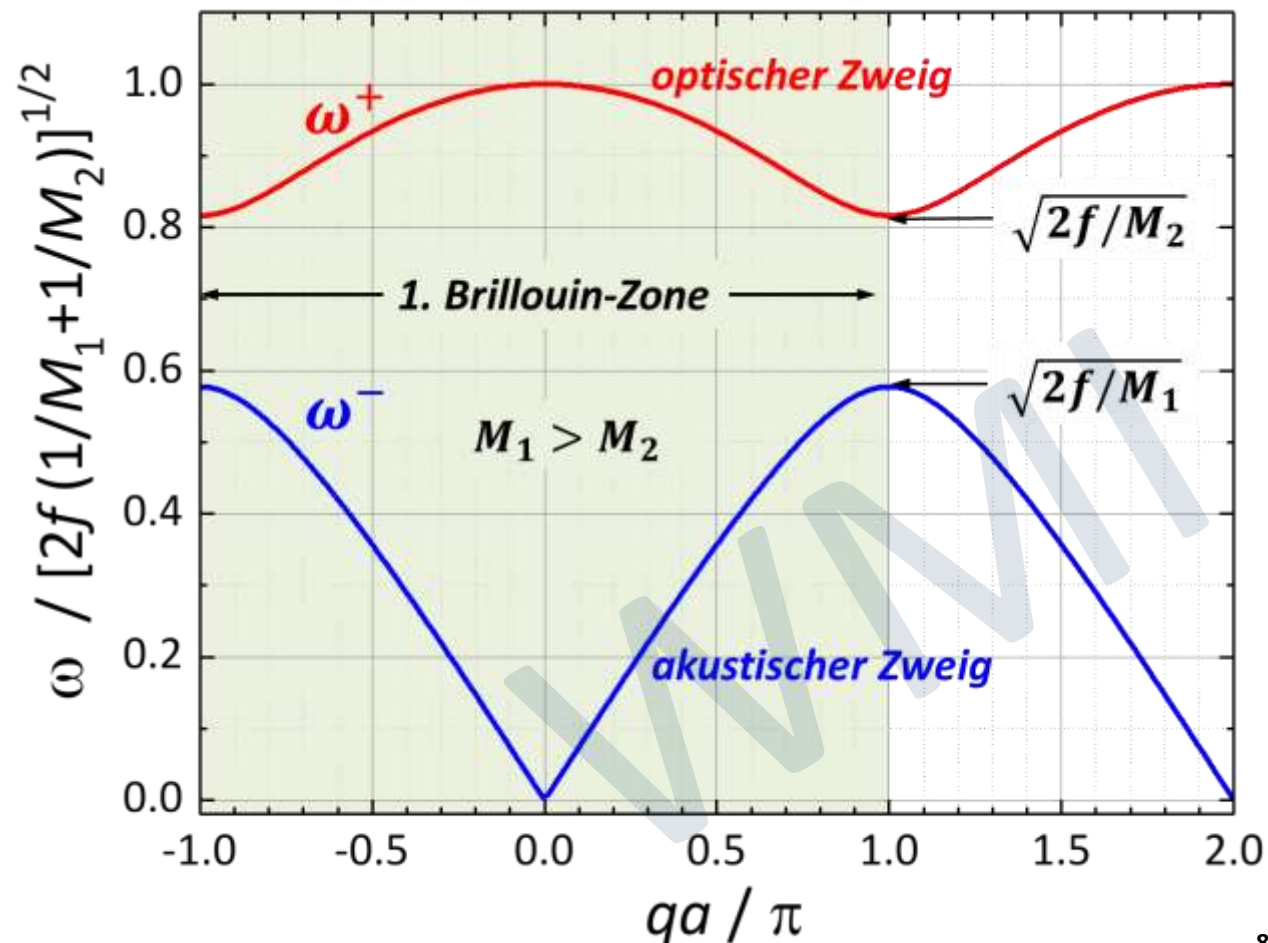
5.2.3 Kristallgitter mit zweiatomiger Basis

- Nullsetzen der Determinante ergibt die Dispersionrelation

$$\omega^2 = f \left(\frac{1}{M_1} + \frac{1}{M_2} \right) \pm \left[\left(\frac{1}{M_1} + \frac{1}{M_2} \right)^2 - \frac{4}{M_1 M_2} \sin^2 \left(\frac{qa}{2} \right) \right]^{1/2}$$

wir erhalten 2 Lösungszweige:

- i. **optischer Zweig** $\omega^+(q)$
- ii. **akustischer Zweig** $\omega^-(q)$



5.2.3 Kristallgitter mit zweiatomiger Basis

- Wieso sprechen wir von einem akustischen und optischen Dispersionszweig?

$$\begin{aligned} \left(\frac{2f}{M_1} - \omega^2\right) A_1 - f \frac{1}{\sqrt{M_1 M_2}} (1 + e^{-iqa}) A_2 &= 0 \\ -f \frac{1}{\sqrt{M_1 M_2}} (1 + e^{+iqa}) A_1 + \left(\frac{2f}{M_2} - \omega^2\right) A_2 &= 0 \end{aligned}$$

$$u_n(q) = \frac{1}{\sqrt{M_1}} A_1(q) e^{i(qna - \omega t)}$$

$$v_n(q) = \frac{1}{\sqrt{M_2}} A_2(q) e^{i(qna - \omega t)}$$

- wir betrachten Amplitudenverhältnis für $q = 0$:

$$\omega_+^2(0) = 2f \left(\frac{1}{M_1} + \frac{1}{M_2} \right) \quad \omega_-^2(0) = 0$$

$$\omega^2 = f \left(\frac{1}{M_1} + \frac{1}{M_2} \right) \pm \left[\left(\frac{1}{M_1} + \frac{1}{M_2} \right)^2 - \frac{4}{M_1 M_2} \sin^2 \left(\frac{qa}{2} \right) \right]^{1/2}$$

$= 0$ für $q = 0$

- Einsetzen in obige Gleichungen

$$\frac{A_1(0)/\sqrt{M_1}}{A_2(0)/\sqrt{M_2}} = -\frac{M_2}{M_1} \quad \text{für } \omega_+ \quad \rightarrow \text{gegenphasiges Schwingen:}$$

optischer Dispersionszweig

(gegenphasige Auslenkung von entgegengesetzt geladenen Ionen durch em-Welle)

$$\frac{A_1(0)/\sqrt{M_1}}{A_2(0)/\sqrt{M_2}} = 1 \quad \text{für } \omega_- \quad \rightarrow \text{Schwingen in-Phase:}$$

akustischer Dispersionszweig

(entspricht langwelligem Grenzfall: Schallausbreitung)

5.2.3 Kristallgitter mit zweiatomiger Basis

- akustische und optische Schwingungen (longitudinal und transversal)

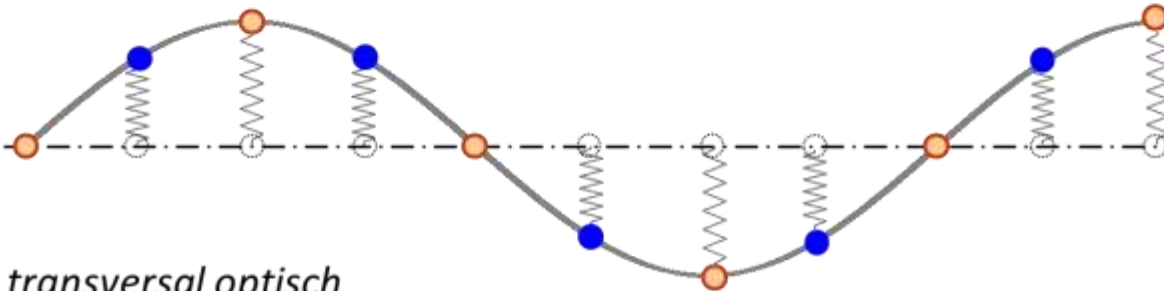
longitudinal akustisch



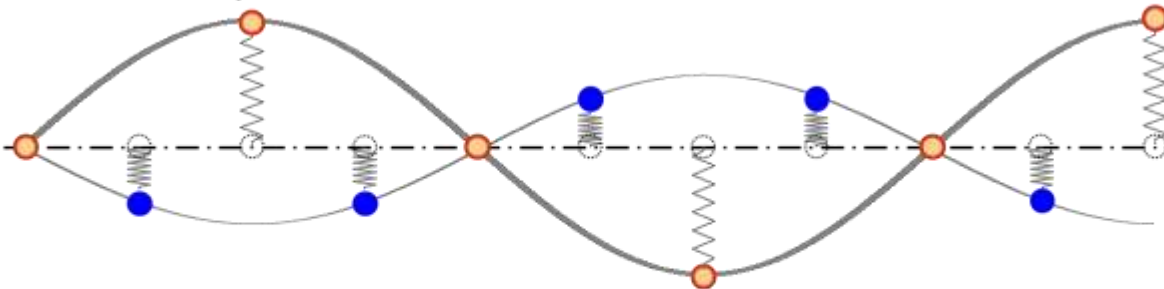
longitudinal optisch



transversal akustisch



transversal optisch



- **akustischer Zweig** für $q \rightarrow 0$:
 → beschreibt Ausbreitung von Schallwellen
- **optischer Zweig** für $q \rightarrow 0$:
 in Ionenkristallen treten bei gegenphasiger Schwingung starke Dipolmomente auf
 → Einfluss auf optisches Verhalten
 → Anregung durch Licht
- **longitudinale Schwingungen**:
 → Auslenkung parallel zu Ausbreitungsrichtung
- **transversale Schwingungen**:
 → Auslenkung senkrecht zu Ausbreitungsrichtung

5.2.3 Kristallgitter mit zweiatomiger Basis

- Grenzfälle

- i. $q = \pi/a$: Rand der 1. Brillouin-Zone

$$-\sin\left(\frac{qa}{2}\right) \approx \sin\left(\frac{\pi}{2}\right) = 1 \Rightarrow \sqrt{\left(\frac{1}{M_1} + \frac{1}{M_2}\right)^2 - \frac{4}{M_1 M_2} \sin^2 \frac{qa}{2}} \approx \sqrt{\left(\frac{1}{M_1} - \frac{1}{M_2}\right)^2} = \frac{1}{M_1} - \frac{1}{M_2}$$

- $v_g \rightarrow 0 \rightarrow$ stehende Wellen

- maximale bzw. minimale Schwingungsfrequenz für $M_1 > M_2$

$$\omega_-\left(\frac{\pi}{q}\right) = \sqrt{2f/M_1} \quad \omega_+\left(\frac{\pi}{q}\right) = \sqrt{2f/M_2}$$

- Frequenzlücke, umso größer je größer M_1/M_2

- Frequenzband von ω_+ wird schmaler mit zunehmendem M_1/M_2

- ii. $q \ll \pi/a$: Zentrum der 1. Brillouin-Zone

- langwelliger Grenzfall: $\lambda = 2\pi/q \gg a$

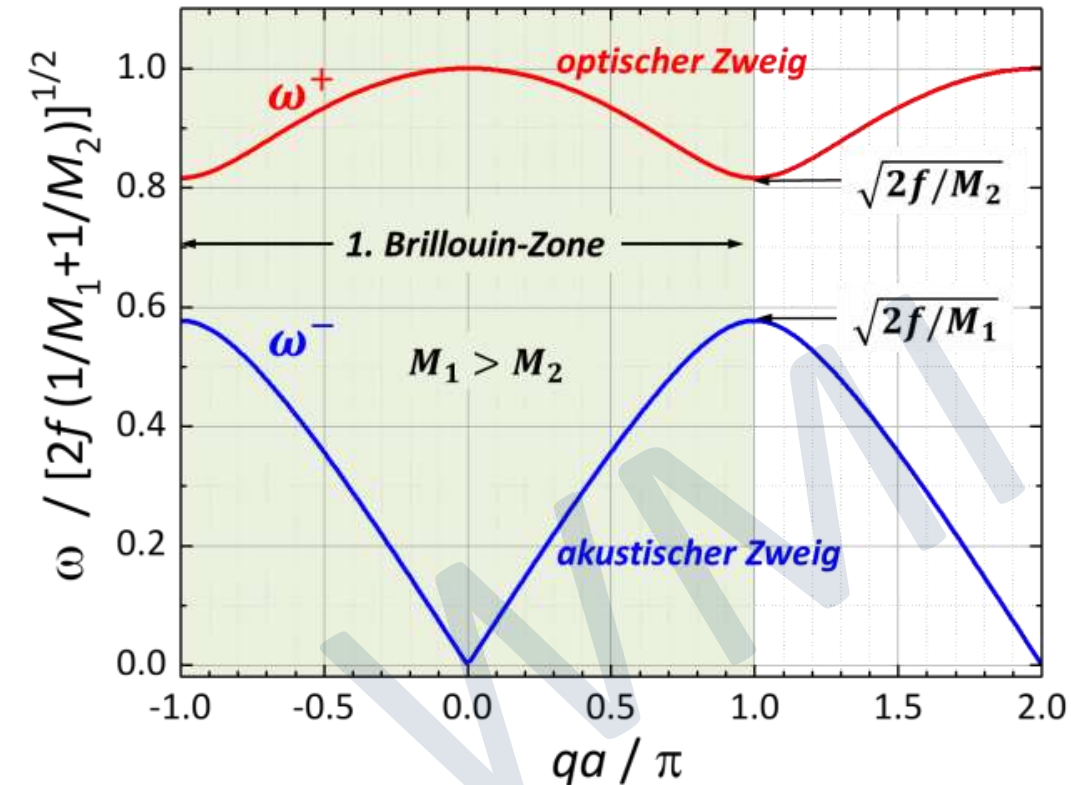
- $\sin x \approx x$ und $\sqrt{1-x} \approx 1-x/2$

$$-\omega_+^2(q) \approx 2f \left(\frac{1}{M_1} + \frac{1}{M_2}\right) - 2 \frac{a^2 f}{2(M_1 + M_2)} q^2$$

$$-\omega_-^2(q) \approx \underbrace{\frac{a^2 f}{2(M_1 + M_2)}}_{\text{Schallgeschwindigkeit}^2} q^2 = v_s^2 q^2$$

Schallgeschwindigkeit²

$$\omega^2 = f \left(\frac{1}{M_1} + \frac{1}{M_2}\right) \pm \left[\left(\frac{1}{M_1} + \frac{1}{M_2}\right)^2 - \frac{4}{M_1 M_2} \sin^2 \left(\frac{qa}{2}\right) \right]^{1/2}$$



5.2.4 Gitterschwingungen – 3D Fall

- Gitterschwingungen – dreidimensionaler Fall

homogenes Gleichungssystem der Ordnung: *Dimension · r'*

D = Dimension, r' = Zahl der Atome in Basis

	einatomige Basis	r' -atomige Basis
akustische Phononen	1 longitudinaler Zweig: $\mathbf{u} \parallel \mathbf{q}$ 2 transversale Zweige: $\mathbf{u} \perp \mathbf{q}$ 3	1 LA Zweig 2 TA Zweige 3
optische Phononen	(keine) 0	$(r' - 1)$ LO Zweige $2(r' - 1)$ TO Zweige $3r' - 3$
Beispiele	Al , fcc-Gitter, $r' = 1$ 3 akustische Dispersionszweige	Si , Diamantstruktur, $r' = 2$ 3 akustische und 3 optische Dispersionszweige

5.2.4 Gitterschwingungen – 3D Fall

- Aluminium (eiatomige Basis)

Angabe von $\omega(q)$ in bestimmte Richtungen im q -Raum

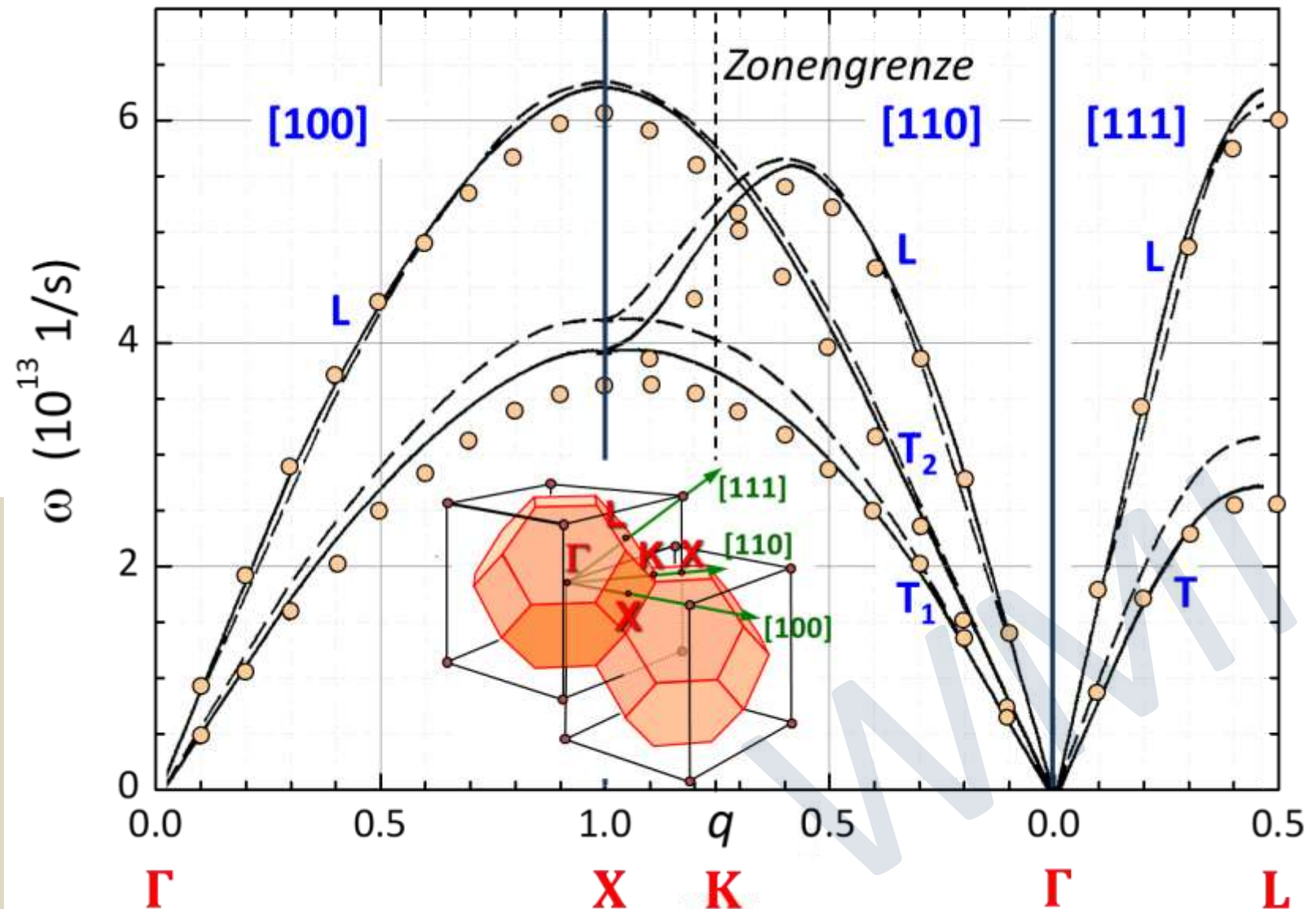
→ keine optischen Zweige

➤ üblicherweise ist $v_{\text{long}} > v_{\text{trans}}$

➤ Dispersionsrelation ist periodisch:
 $\omega(\mathbf{q}) = \omega(\mathbf{q} + \mathbf{G})$

➤ Zeitumkehrsymmetrie:
 $\omega(\mathbf{q}) = \omega(-\mathbf{q})$

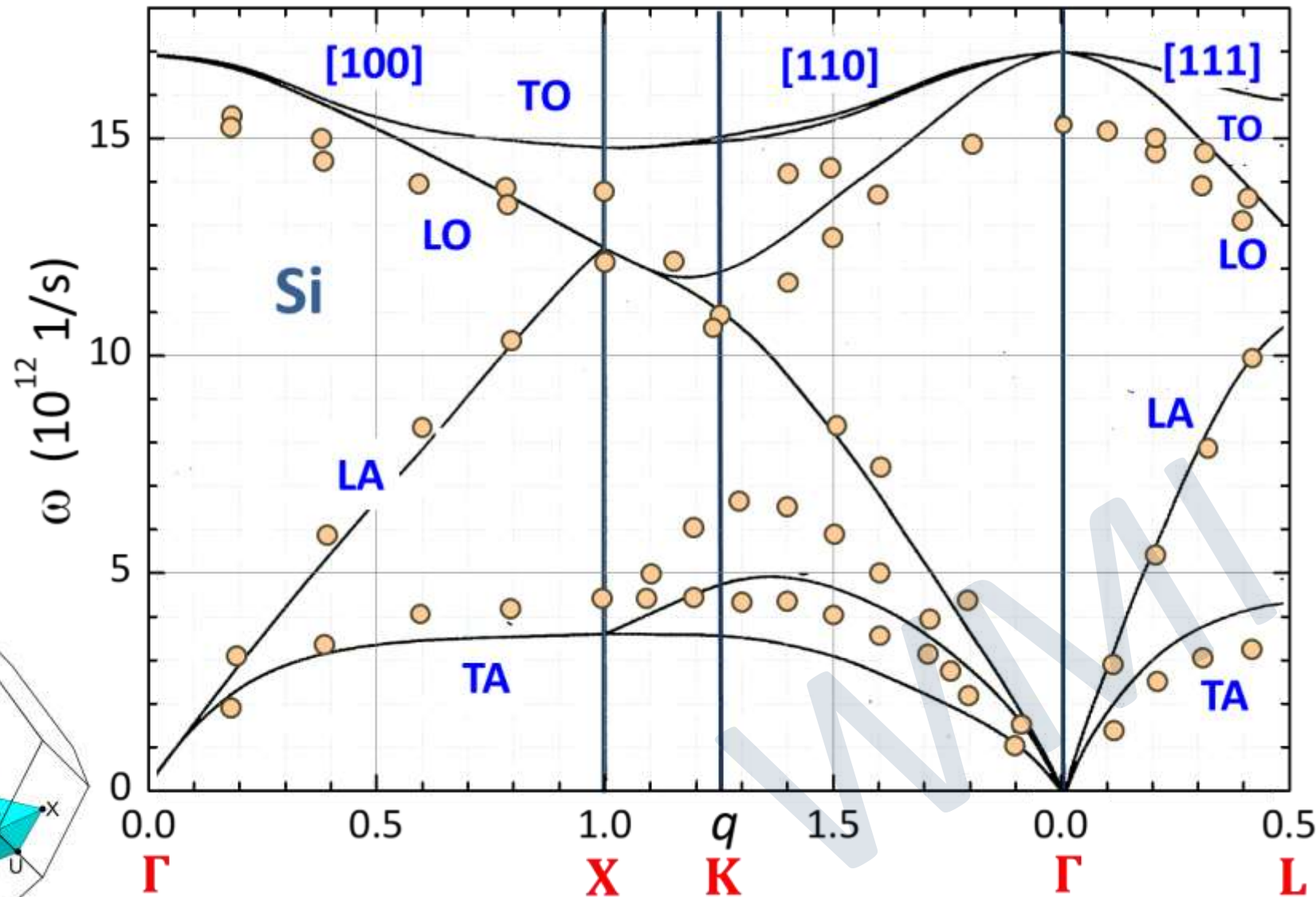
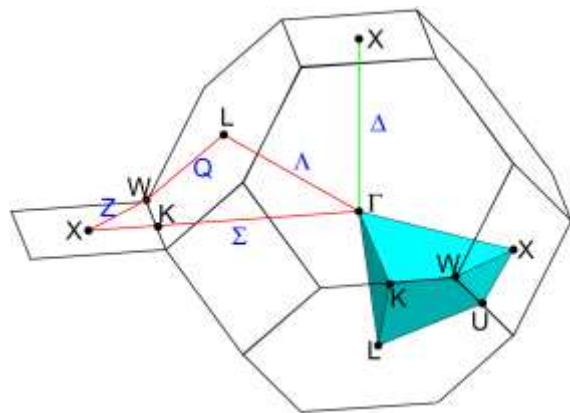
➔ Beschränkung auf einen Oktanten der 1. Brillouin-Zone möglich



5.2.4 Gitterschwingungen – 3D Fall

- Silizium (zweiatomige Basis)

- Si besitzt Diamantstruktur mit zweiatomiger Basis
- wir erwarten **3 akustische** und **3 optische Dispersionszweige**
- Zweige $\omega_r(q)$ können entartet sein:
 - in [100] und [111] Richtung nur 4 Zweige



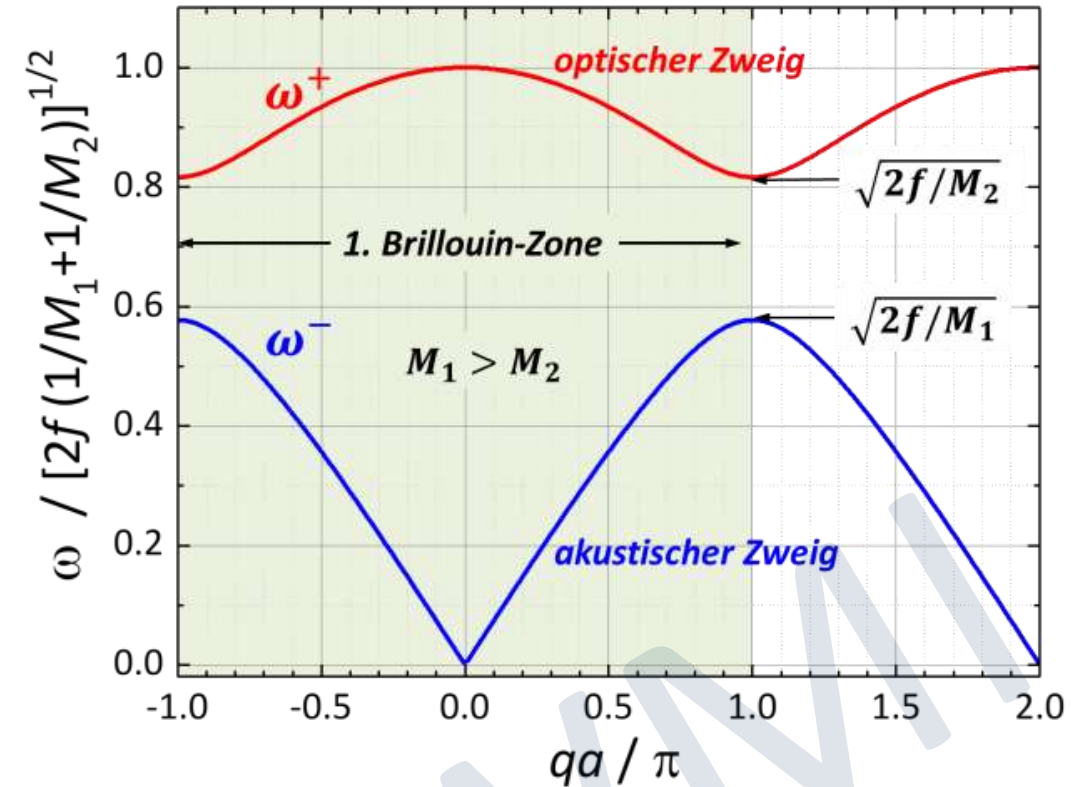
5.3 Zustandsdichte im q - und ω -Raum

- Frage: Sind alle Wellenzahlen q in der Dispersionsrelation $\omega(q)$ erlaubt?

- Antwort: **Nein!**
da FK endliche Ausdehnung hat, sind wegen Randbedingungen nur bestimmte q -Werte möglich
(nur für unendlich ausgedehnten FK liegen q -Werte dicht)

- Frage: Wie viele mögliche q -Werte gibt es pro Intervall im q - und ω -Raum?

→ Zustandsdichten $Z(q)$ und $D(\omega)$

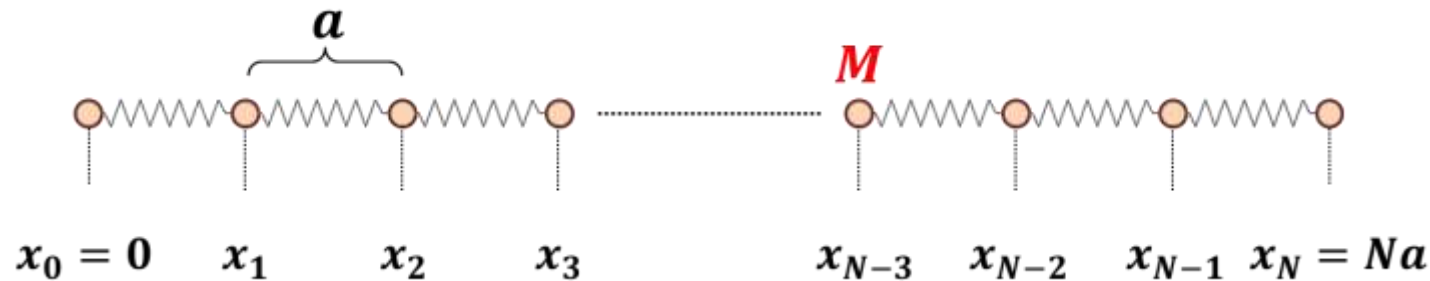


Wichtig: Endliche Abmessung L eines FK führt zu endlicher Zahl von möglichen Wellenzahlen q

Analog zu klassischer Mechanik: **System aus N schwingenden Massen besitzt nur $3N$ Eigenfrequenzen**

5.3.1 Randbedingungen

i. eindimensionaler Fall, periodische Randbedingungen



eindimensionale Kette mit N Atomen
(kann zu Kreis geschlossen werden
→ periodische Randbedingungen)

Klassische Mechanik: für 1D-System aus N schwingenden Massen erwarten wir N Schwingungsmoden

- **periodischen Randbedingungen:** $u_n = u_{n+N}$ u_n = Auslenkung des n -ten Atoms aus seiner Ruhelage
- **Lösungsansatz** für Gitterschwingung: $u_n = Ae^{i(qna-\omega t)} = Ae^{i(qR_n-\omega t)}$ (Gittervektoren $R_n = na$)

$$\text{Randbedingung: } u_n = Ae^{i(qR_n-\omega t)} = u_{n+N} = Ae^{i(qR_n-\omega t)} e^{iqNa}$$

$$\rightarrow e^{iqNa} = 1$$

$$\rightarrow \underbrace{Na}_{\text{Gittervektor}} q = p \cdot 2\pi \text{ mit } p = \text{ganze Zahl} \rightarrow$$

$$q = p \cdot \frac{2\pi}{Na} = p \cdot \frac{2\pi}{L}$$

Gittervektor → reziproker Gittervektor

5.3.1 Randbedingungen

$$q = p \cdot \frac{2\pi}{Na} = p \cdot \frac{2\pi}{L}$$

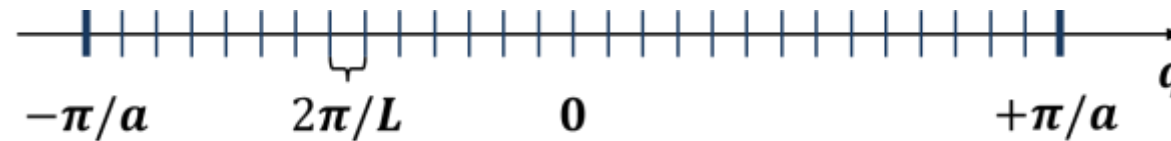
- Beschränkung auf 1. BZ:

$$-\frac{\pi}{a} < q \leq +\frac{\pi}{a} \quad \text{oder} \quad -\frac{\pi}{a} < p \cdot \frac{2\pi}{Na} \leq +\frac{\pi}{a} \quad \text{oder} \quad -\frac{N}{2} < p \leq +\frac{N}{2} \quad (\text{erlaubte } q\text{-Werte in 1. BZ})$$

→ N mögliche Wellenzahlen bzw. Schwingungsmoden bei N schwingenden Atomen

Hinweis: Das \leq Zeichen taucht auf, da wir am Zonenrand für $q = \pm\pi/a$ stehende Wellen erhalten, so dass die Lösungen für $q = \pm\pi/a$ identisch sind. Für alle anderen Werte von q sind $\pm q$ anhand der Ausbreitungsrichtung unterscheidbar.

- Zustandsdichte (1D):



Zahl der Schwingungsmoden pro Volumen im 1D q -Raum

$$Z(q) = \frac{\text{Zahl der Zustände}}{\text{Volumen im } q\text{-Raum}} = \frac{N}{2\pi/a} = \frac{Na}{2\pi} = \frac{L}{2\pi}$$

→ jeder Zustand nimmt im 1D q -Raum das Volumen $\frac{2\pi}{L}$ ein

5.3.1 Randbedingungen

ii. dreidimensionaler Fall, einatomige Basis, periodische Randbedingungen

- **Annahmen:**

- Kristall mit Seitenlängen $N_1 a_1, N_2 a_2, N_3 a_3$ ($\mathbf{a}_1, \mathbf{a}_2, \mathbf{a}_3 =$ primitive Gittervektoren)
- Zahl der Gitterpunkte: $N_1 \cdot N_2 \cdot N_3 = N$ (= Zahl der Atome bei einatomiger Basis)
- einatomige Basis (Atompositionen = Gitterpunkte)

– **periodische Randbedingungen:** $\mathbf{u}(\mathbf{R}) = \mathbf{u}(\mathbf{R} + N_i \mathbf{a}_i) \quad i = 1,2,3$

– **Lösungsansatz** für Gitterschwingung: $\mathbf{u}_n = \mathbf{A} e^{i(\mathbf{q} \cdot \mathbf{R} - \omega t)}$ (Gittervektoren \mathbf{R})

– Einsetzen ergibt: $\mathbf{u}(\mathbf{R} + N_i \mathbf{a}_i) = \mathbf{A} e^{i\mathbf{q} \cdot \mathbf{R}} e^{i \cdot \mathbf{q} \cdot \mathbf{a}_i N_i} e^{-i\omega t} = \mathbf{u}(\mathbf{R}) e^{i \cdot \mathbf{q} \cdot \mathbf{a}_i N_i}$

→ $e^{i \cdot \mathbf{q} \cdot \mathbf{a}_i N_i} = 1$

→ $\mathbf{q} \cdot \mathbf{a}_i N_i = p_i \cdot 2\pi$ mit $i = 1,2,3$ und $p_i =$ ganzzahlig

da $N_i \mathbf{a}_i$ ein Gittervektor ist, muss \mathbf{q} ein reziproker Gittervektor sein

➔ $\mathbf{q} = h\mathbf{b}_1 + k\mathbf{b}_2 + \ell\mathbf{b}_3$ mit $b_1, b_2, b_3 =$ primitive reziproke Gittervektoren

5.3.1 Randbedingungen

– es gilt: $\mathbf{q} \cdot \mathbf{a}_i N_i = p_i \cdot 2\pi$ $\mathbf{q} = h\mathbf{b}_1 + k\mathbf{b}_2 + \ell\mathbf{b}_3$ $\mathbf{a}_i \cdot \mathbf{b}_i = 2\pi\delta_{ij}$

→ $h = \frac{p_1}{N_1}, \quad k = \frac{p_2}{N_2}, \quad \ell = \frac{p_3}{N_3}$

– für die erlaubten Wellenvektoren erhalten wir damit:

$$\mathbf{q} = \frac{p_1}{N_1} \mathbf{b}_1 + \frac{p_2}{N_2} \mathbf{b}_2 + \frac{p_3}{N_3} \mathbf{b}_3$$

• **Beschränkung auf 1. BZ:**

$$-\frac{|\mathbf{b}_i|}{2} < |\mathbf{q}| \leq +\frac{|\mathbf{b}_i|}{2} \quad \text{oder} \quad -\frac{|\mathbf{b}_i|}{2} < \frac{p_1}{N_1} |\mathbf{b}_i| \leq +\frac{|\mathbf{b}_i|}{2} \quad \text{oder} \quad -\frac{N_i}{2} < p_i \leq +\frac{N_i}{2}$$

→ $N = N_1 \cdot N_2 \cdot N_3$ mögliche Wellenzahlen bzw. Schwingungsmoden bei $N = N_1 \cdot N_2 \cdot N_3$ schwingenden Atomen

• **dreidimensionales Gitter mit r' -atomiger Basis:**

In einem dreidimensionalen Gitter mit einer aus r' Atomen bestehenden Basis sind $3r' \cdot N_1 \cdot N_2 \cdot N_3 = 3r' \cdot N$ Schwingungsmoden möglich. Dies entspricht genau $r = 3r'$ Dispersionszweigen mit N Schwingungsmoden pro Dispersionszweig.

5.3.2 Zustandsdichte im 3D q -Raum

- Volumen der 1. BZ: $\Omega_{\text{BZ}} = \frac{(2\pi)^3}{\mathbf{a}_1 \cdot (\mathbf{a}_2 \times \mathbf{a}_3)} = \frac{(2\pi)^3}{V_{\text{WS}}}$ $V_{\text{WS}} = \mathbf{a}_1 \cdot (\mathbf{a}_2 \times \mathbf{a}_3) = \text{Volumen der Wigner-Seitz-Zelle}$

- in der 1. BZ liegen genau $N = N_1 \cdot N_2 \cdot N_3$ mögliche Wellenzahlen bzw. Schwingungsmoden

- Zustandsdichte (3D):

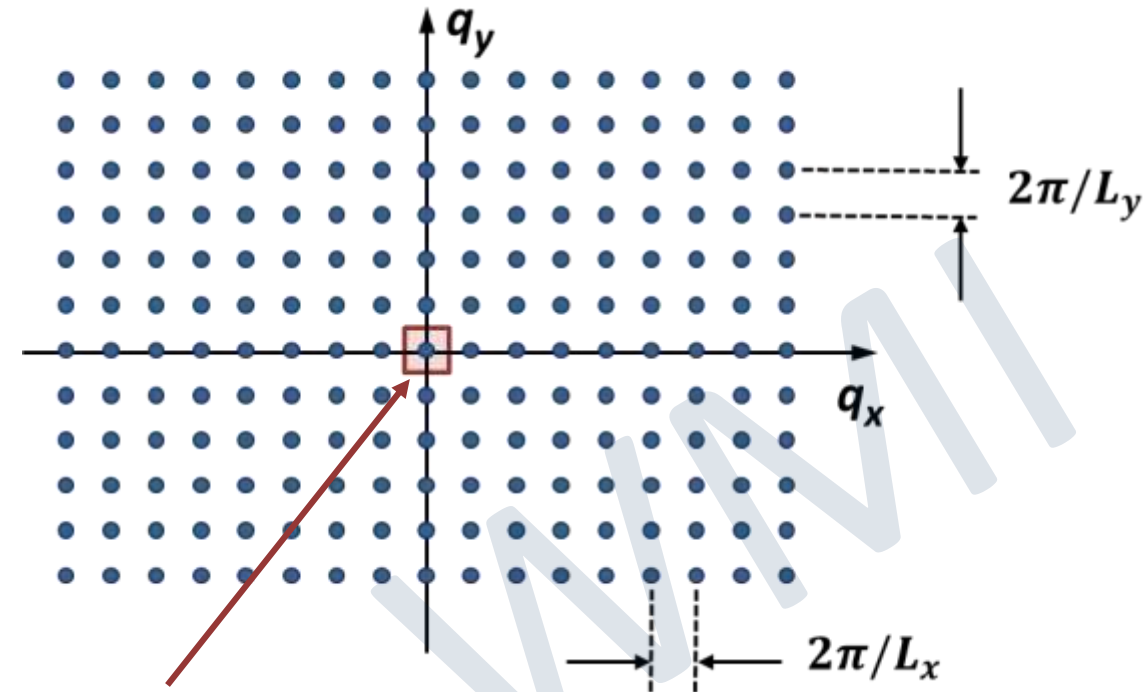
Zahl der Schwingungsmoden pro Volumen im 3D q -Raum

$$Z(q) = \frac{N}{\Omega_{\text{BZ}}} = \frac{N \cdot V_{\text{WS}}}{(2\pi)^3} = \frac{V}{(2\pi)^3}$$

- Zustandsdichte (2D):

Zahl der Schwingungsmoden pro Volumen im 2D q -Raum

$$Z(q) = \frac{N}{\Omega_{\text{BZ}}} = \frac{N \cdot A_{\text{WS}}}{(2\pi)^2} = \frac{A}{(2\pi)^2}$$



Fläche eines einzelnen Zustandes

im q -Raum: $\frac{(2\pi)^2}{L_x L_y} = \frac{(2\pi)^2}{A}$

5.3.3 Zustandsdichte im ω -Raum

- **allgemeine Vorbemerkung:**

- bei der Diskussion zahlreicher Phänomene tauchen Summen der Form $\sum_{\mathbf{q},r} F[\omega_r(\mathbf{q})]$ auf
- mit der Zustandsdichte im q -Raum können wir die Summe über die große Zahl der N Schwingungsmoden in eine Integration über die 1. BZ überführen

$$\sum_{\mathbf{q},r} F[\omega_r(\mathbf{q})] = \sum_r \int_{1.BZ} d^3q Z(\mathbf{q}) F[\omega_r(\mathbf{q})]$$

Beispiel: für $F[\omega_r(\mathbf{q})] = \hbar\omega_r(\mathbf{q})$ erhalten wir die Gesamtenergie der Gitterschwingungen

(ist immer möglich, wenn die Zustände im q -Raum dicht liegen)

- häufig möchte man die Integration über alle \mathbf{q} -Zustände in eine Integration über ihre Frequenzen $\omega(\mathbf{q})$ überführen

$$\sum_{\mathbf{q},r} F[\omega_r(\mathbf{q})] = \sum_r \int_{1.BZ} d^3q Z(\mathbf{q}) F[\omega_r(\mathbf{q})] = \int_{\omega_{\min}}^{\omega_{\max}} d\omega D(\omega) F(\omega)$$



$$D(\omega) = \sum_r \int_{1.BZ} d^3q Z(\mathbf{q}) \delta(\omega - \omega_r(\mathbf{q}))$$

Zustandsdichte im Frequenzraum

5.3.3 Zustandsdichte im ω -Raum

- Veranschaulichung der Bedeutung der Zustandsdichte im Frequenzraum anhand von 1D Dispersionsrelation $\omega(q)$

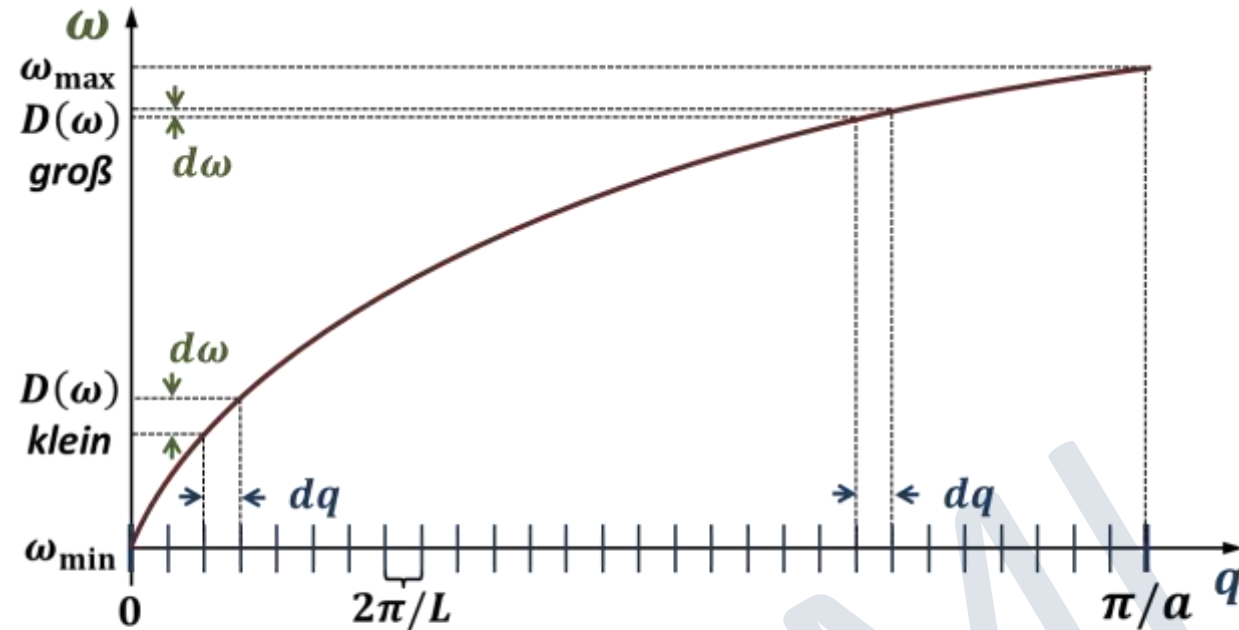
- konstante Zustandsdichte $Z(q) = L/2\pi$ im q -Raum übersetzt sich durch nichtlineare Dispersionsrelation $\omega(q)$ in Zustandsdichte $D(\omega) \neq \text{const.}$

$$Z(q)dq = D(\omega)d\omega$$

Erhaltung der Zahl der Zustände

$$N = \int_{1.\text{BZ}} d^3q Z(q) = \int_{\omega_{\min}}^{\omega_{\max}} d\omega D(\omega)$$

- $D(\omega)$ ist dort groß, wo $\omega(q)$ flach verläuft und umgekehrt



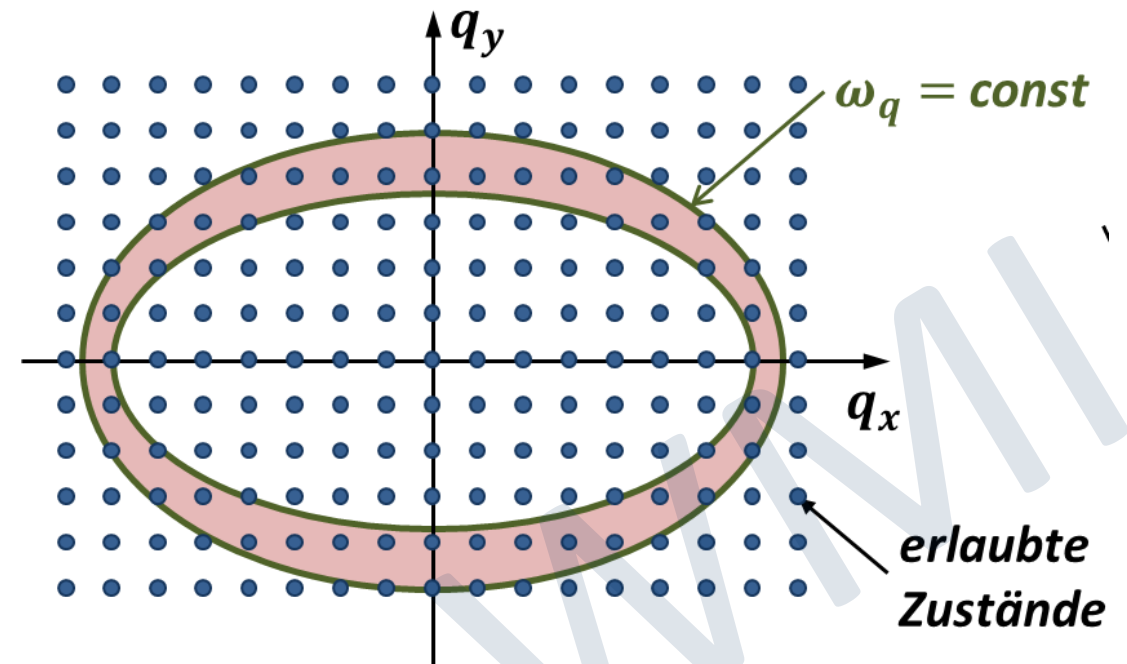
5.3.3 Zustandsdichte im ω -Raum

- Herleitung des Zusammenhangs zwischen $D(\omega)$ und $Z(\mathbf{q})$ über die Dispersionsrelation $\omega(\mathbf{q})$
 - Annahme: nur ein Dispersionszweig $\omega(\mathbf{q})$
 - Bestimmung der Zahl der Schwingungszustände in Frequenzintervall $[\omega, \omega + \Delta\omega]$
 - Integration des q -Raums zwischen Flächen gleicher Frequenz
 - Multiplikation mit Zustandsdichte $Z(\mathbf{q})$ des q -Raumes

$$\int_{\omega(\mathbf{q})}^{\omega(\mathbf{q})+\Delta\omega(\mathbf{q})} d\omega D(\omega) \simeq D(\omega)\Delta\omega$$

$$= \int_{\mathbf{q}(\omega)}^{\mathbf{q}(\omega+\Delta\omega)} Z(\mathbf{q}) d^3q = \frac{V}{(2\pi)^3} \int_{\mathbf{q}(\omega)}^{\mathbf{q}(\omega+\Delta\omega)} d^3q$$

→ $D(\omega)\Delta\omega = \frac{V}{(2\pi)^3} \int_{\mathbf{q}(\omega)}^{\mathbf{q}(\omega+\Delta\omega)} d^3q$



die Form der Fläche $\omega(\mathbf{q}) = const.$ wird durch Dispersionsrelation bestimmt: einfachster Fall $\omega(\mathbf{q}) = v_s |\mathbf{q}|$
 → **Kugeloberfläche**

5.3.3 Zustandsdichte im ω -Raum

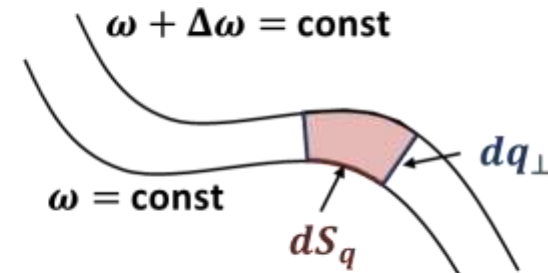
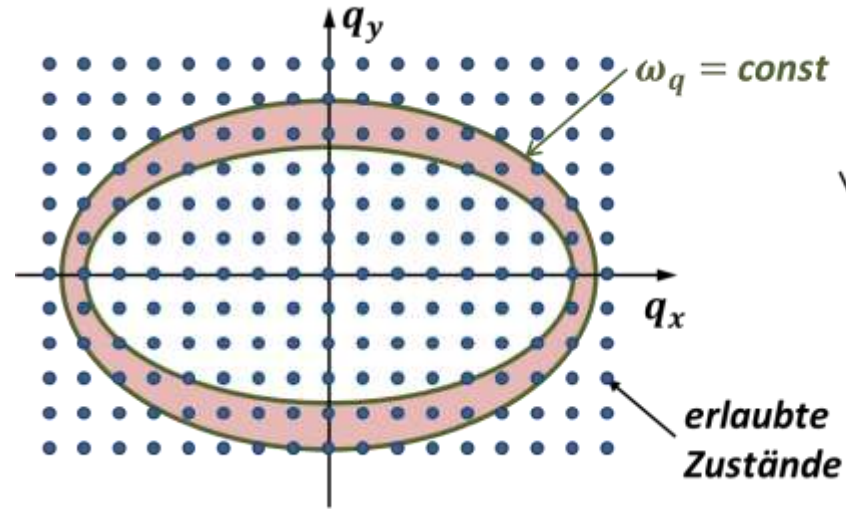
$$D(\omega)\Delta\omega = \frac{V}{(2\pi)^3} \int_{\mathbf{q}(\omega)}^{\mathbf{q}(\omega+\Delta\omega)} d^3q$$

– für die Integration benutzen wir

$$d^3q = dS_q dq_{\perp}$$

Flächenelement der Fläche $\omega(\mathbf{q}) = \text{const.}$

Abstand der Fläche $\omega(\mathbf{q}) + \Delta\omega(\mathbf{q})$ von der Fläche $\omega(\mathbf{q}) = \text{const.}$



– mit $\Delta\omega = |d\omega/dq_{\perp}| dq_{\perp}$ erhalten wir: $d^3q = dS_q dq_{\perp} = \frac{dS_q}{|d\omega/dq_{\perp}|} \Delta\omega$

– Einsetzen ergibt **Zustandsdichte $D(\omega)$** :

$$D(\omega) = \frac{V}{(2\pi)^3} \int_{\omega=\text{const}} \frac{dS_q}{|d\omega/dq_{\perp}|}$$

Oberfläche der $\omega(\mathbf{q}) = \text{const.}$ Fläche

Zustandsdichte im q -Raum

gibt an, wie schnell sich ω mit q ändert
 \rightarrow Gruppengeschwindigkeit
 \rightarrow Breite der Fläche im q -Raum

- \triangleright hohe Zustandsdichte für die Frequenzen, bei denen Gruppengeschwindigkeit $|d\omega/dq_{\perp}|$ klein ist
- \triangleright **Van Hove Singularität:**
 $|d\omega/dq_{\perp}| = 0 \rightarrow$ Singularität

5.3.3 Zustandsdichte im ω -Raum

- **Beispiel: 3D isotropes Medium mit einatomiger Basis**

$$D(\omega) = \frac{V}{(2\pi)^3} \int_{\omega=\text{const}} \frac{dS_q}{|d\omega/dq_{\perp}|}$$

- drei akustische Dispersionszweige mit linearer Dispersion: $\omega_L = v_L q$ bzw. $\omega_T = v_T q$

- Fläche konstanter Frequenz ist Kugeloberfläche: Oberflächenintegral ergibt $4\pi q^2$

- Zustandsdichte für jeden Zweig: $D_i(\omega) = \frac{V}{2\pi^2} \frac{q^2}{v_i} = \frac{V}{2\pi^2} \frac{\omega^2}{v_i^3}$

- gesamte 3D Zustandsdichte: $D^{(3D)}(\omega) = \frac{V}{2\pi^2} \left(\frac{1}{v_L^3} + \frac{2}{v_T^3} \right) \omega^2$

- **2D und 1D Systeme**

$$D^{(2D)}(\omega) = \frac{A}{(2\pi)^2} \int_{\omega=\text{const}} \frac{dL_q}{|d\omega/dq_{\perp}|}$$

$$D_i^{(2D)}(\omega) = \frac{A}{2\pi} \frac{q}{v_i} = \frac{A}{2\pi} \frac{\omega}{v_i^2}$$

$$D^{(2D)}(\omega) = \frac{A}{2\pi} \left(\frac{1}{v_L^2} + \frac{1}{v_T^2} \right) \omega^1$$

$$D^{(1D)}(\omega) = \frac{L}{(2\pi)^1} \int_{\omega=\text{const}} \frac{dP_q}{|d\omega/dq_{\perp}|}$$

$$D_i^{(1D)}(\omega) = \frac{L}{2\pi} \frac{2}{v_i} = \frac{L}{2\pi} \frac{2}{v_i} \omega^0$$

$$D^{(1D)}(\omega) = \frac{L}{2\pi} \frac{2}{v_L} \omega^0$$

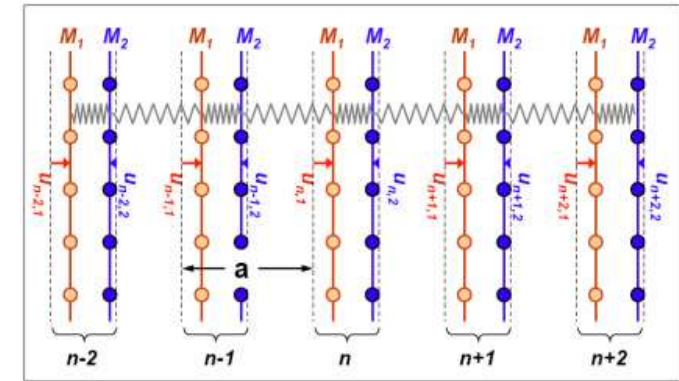
• **longitudinale Schwingungen: 1D-System, zweiatomige Basis**

$$\rightarrow 1 \cdot r' = 2, \text{ nur NN-WW} \rightarrow m - n = p = 1$$

$$M_1 \frac{\partial^2 u_n}{\partial t^2} + f (2u_n - v_n - v_{n-1}) = 0 \quad M_2 \frac{\partial^2 v_n}{\partial t^2} + f (2v_n - u_n - u_{n+1}) = 0$$

Lösung:
$$\omega^2 = f \left(\frac{1}{M_1} + \frac{1}{M_2} \right) \pm \left[\left(\frac{1}{M_1} + \frac{1}{M_2} \right)^2 - \frac{4}{M_1 M_2} \sin^2 \left(\frac{qa}{2} \right) \right]^{1/2}$$

Dispersionsrelation



Grenzfälle:

- Rand der Brillouin-Zone, $q = \pi/a$:

$$\omega_- \left(\frac{\pi}{a} \right) = \sqrt{\frac{2f}{M_1}}, \quad \omega_+ \left(\frac{\pi}{a} \right) = \sqrt{\frac{2f}{M_2}}$$

- Zentrum der Brillouin-Zone, langwelliger Grenzfall, $q \rightarrow 0$:

$$\omega_+^2 (q \rightarrow 0) \approx 2f \left(\frac{1}{M_1} + \frac{1}{M_2} \right) - v_s^2 q^2$$

$$\omega_-^2 (q \rightarrow 0) \approx v_s^2 q^2, \quad v_s^2 = \frac{a^2 f}{2(M_1 + M_2)}$$

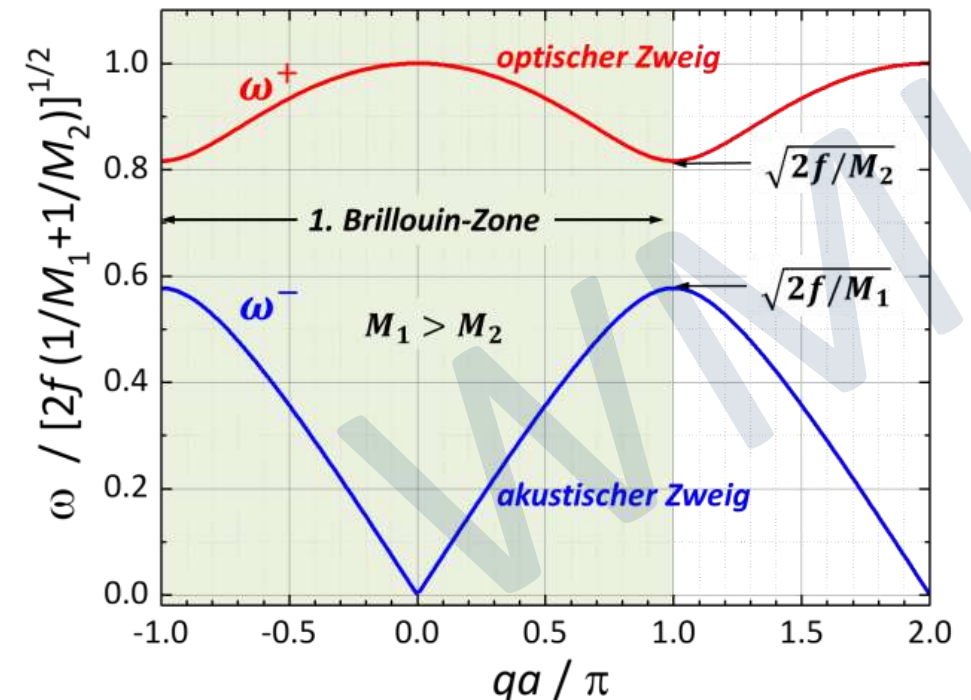
- $M_1 \gg M_2$:

$$\omega^2 \approx \frac{f}{M_2} \pm \frac{f}{M_2} \left(1 - 4 \frac{M_2}{M_1} \sin^2 \frac{qa}{2} \right)^{1/2} \approx \frac{f}{M_2} \pm \frac{f}{M_2} \left(1 - 2 \frac{M_2}{M_1} \sin^2 \frac{qa}{2} \right)$$

$$\omega_+^2 \approx \frac{2f}{M_2} - \frac{2f}{M_1} \sin^2 \frac{qa}{2} \quad \omega_-^2 \approx \frac{2f}{M_1} \sin^2 \frac{qa}{2}$$

zwei Lösungszweige (\pm):

- (i) **akustischer Zweig**, (ii) **optischer Zweig**



- Amplitudenverhältnis für $q \rightarrow 0$

$$\frac{A_1(0)/\sqrt{M_1}}{A_2(0)/\sqrt{M_2}} = -\frac{M_2}{M_1} \text{ für } \omega_+$$

→ gegenphasiges Schwingen:
optischer Zweig

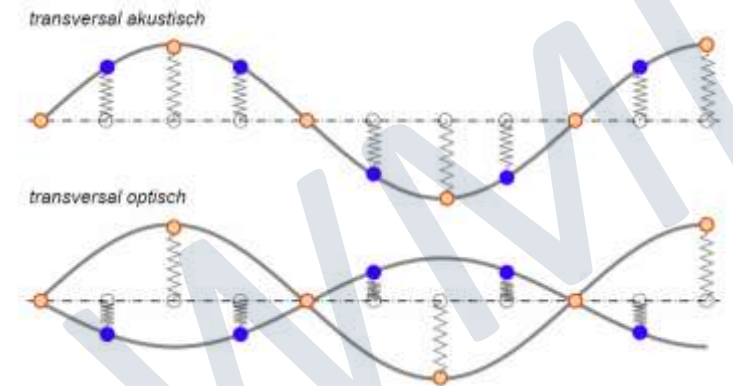
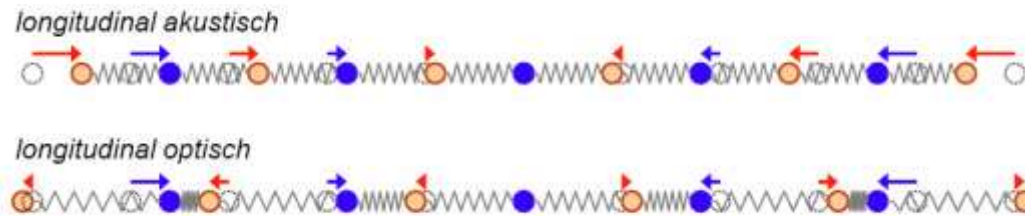
$$\frac{A_1(0)/\sqrt{M_1}}{A_2(0)/\sqrt{M_2}} = 1 \text{ für } \omega_-$$

→ Schwingen in-Phase:
akustischer Zweig

- Zahl r der Phononenzweige für 3D-Festkörper mit r' -atomiger Basis: $r = 3r'$

	einatomige Basis: $r' = 1$	mehratomige Basis: $r' > 1$
akustische Phononen	1 longitud. Zweig: $\mathbf{u} \parallel \mathbf{q}$ 2 transv. Zweige: $\mathbf{u} \perp \mathbf{q}$ 3	1 LA Zweig 2 TA Zweige 3
optische Phononen	(keine) 0	$(r' - 1)$ LO Zweige $2(r' - 1)$ TO Zweige $3r' - 3$

- Schwingungstypen:



- Zustandsdichte im q -Raum

reale Festkörper haben endliche Ausdehnung L

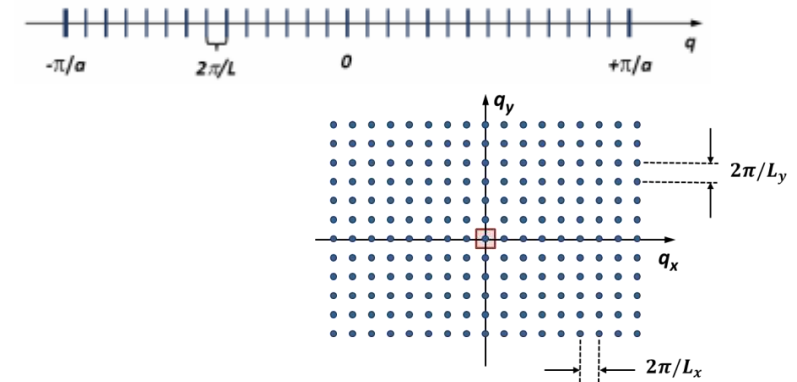
- Randbedingungen
- Auswahl von bestimmten Wellenvektoren \mathbf{q}
- insgesamt $3r'N = r \cdot N$ Schwingungsmoden
($N, r', r =$ Zahl der Gitterzellen, Basisatome, Phononen-Zweige)

• **Zustandsdichte im q -Raum:**

1D-Zustandsdichte: $Z(q) = \frac{L}{(2\pi)^1}$

2D-Zustandsdichte: $Z(q) = \frac{A}{(2\pi)^2}$

3D-Zustandsdichte: $Z(q) = \frac{V}{(2\pi)^3}$

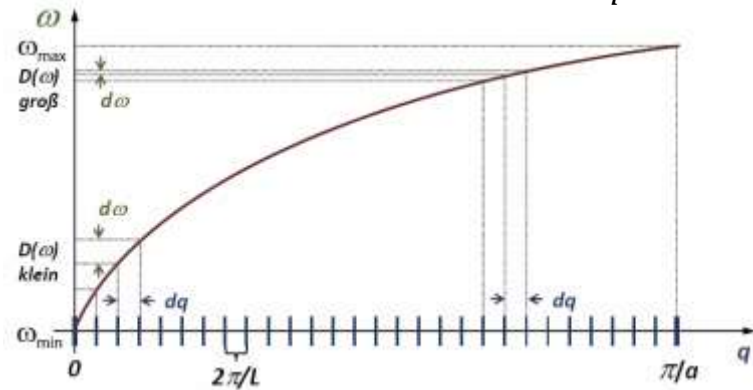


• **Zustandsdichte im ω - Raum**

überführen von $\sum_q \rightarrow \int d^3q \rightarrow \int d\omega$:

$$\sum_{r,q} F[\omega_r(\mathbf{q})] = \sum_r \int_{1.BZ} d^3q Z(\mathbf{q}) F[\omega_r(\mathbf{q})] = \int_{\omega_{min}}^{\omega_{max}} d\omega F(\omega) D(\omega)$$

$$\Rightarrow D(\omega) = \sum_r \int_{1.BZ} d^3q Z(\mathbf{q}) \delta[\omega - \omega_r(\mathbf{q})]$$



konstante Zustandsdichte im q -Raum wird durch nichtlineare $\omega(\mathbf{q})$ -Relation in $D(\omega)$ übersetzt

Beispiel: nur ein Dispersionszweig ($r = 1$)

$$\int_{\omega(q)}^{\omega(q)+\Delta\omega(q)} D(\omega) d\omega \approx D(\omega) \Delta\omega = \frac{V}{(2\pi)^3} \int_{q(\omega)}^{q(\omega+\Delta\omega)} d^3q$$

$$d^3q = dS_q dq_{\perp} = dS_q \left(\frac{dq_{\perp}}{d\omega} \right) \Delta\omega$$

$$D(\omega) = \frac{V}{(2\pi)^3} \int_{\omega=const} \frac{dS_q}{|d\omega/dq_{\perp}|}$$

• **isotropes Medium mit einatomiger Basis**

(drei akustische Zweige: 1LA + 2TA, Annahme linearer Dispersion $\omega_L = v_L q$; $\omega_T = v_T q$)

$$D^{(3D)}(\omega) = \frac{V}{2\pi^2} \left(\frac{1}{v_L^3} + \frac{2}{v_T^3} \right) \omega^2$$

$$D^{(2D)}(\omega) = \frac{A}{2\pi} \left(\frac{1}{v_L^2} + \frac{1}{v_T^2} \right) \omega^1$$

$$D^{(1D)}(\omega) = \frac{L}{2\pi} \frac{2}{v_L} \omega^0$$